

ОБ УСКОРЕНИИ ПОТОКА ЧАСТИЦ ЛАЗЕРНОЙ ДЕЙТЕРИЕВОЙ ПЛАЗМЫ В БЫСТРОНАРАСТАЮЩЕМ МАГНИТНОМ ПОЛЕ

К. И. Козловский, А. Е. Шиканов, Е. Д. Вовченко, А. А. Исаев¹

Национальный исследовательский ядерный университет «МИФИ», Москва

Рассматривается модель ускорения лазерной плазмы, содержащей ионы тяжелого водорода, быстро нарастающим магнитным полем для генерации нейтронов. Приводятся результаты расчета ускорения сгустка лазерной плазмы в момент его образования. Расчеты проводились для торoidalного сгустка плазмы, образуемого под действием лазерного импульса, сфокусированного в тонкое кольцо радиусом r на поверхность твердой мишени, содержащей дейтерий и смещенной относительно геометрического центра кольцевого проводника на расстояние z в сторону лазера. Предложенная модель носит достаточно общий характер, так как любое азимутально-симметричное плазменное образование может быть представлено в виде совокупности подобных торoidalных укрупненных плазменных частиц. В результате был разработан алгоритм расчета начального поля ускорений и составлена соответствующая программа, с использованием которой был проведен численный эксперимент с целью выяснения оптимальных временных режимов ускорения дейтронов, а также геометрических параметров r и z , необходимых для постановки физического эксперимента на вакуумной установке, моделирующей рассматриваемый процесс ускорения.

The model of the acceleration of a laser plasma containing ions of heavy hydrogen by a rapidly growing magnetic field for neutron generation is examined. In this work, the results of calculating the acceleration of a laser plasma bunch at the time of its formation are presented. Calculations were carried out for a toroidal plasma bundle formed by a focused laser pulse in a thin ring of radius r on the surface of a solid target containing deuterium and displaced relative to the geometric center of the annular conductor at the distance z towards the laser. The proposed model is quite general in nature, as any azimuthally symmetric plasma formation can be represented as a set of similar toroidal enlarged plasma particles. As a result, an algorithm for calculating the initial field of accelerations was developed and a corresponding program was compiled. With the use of this program a numerical experiment was carried out in order to define the optimal temporal deuteron regimes of deuteron acceleration, as well as the geometric parameters r and z , which are necessary for setting up a physical experiment on a vacuum installation simulating the considered acceleration process.

PACS: 52.38.Kd

В настоящее время для генерации быстрых нейтронов, а также при реализации ряда имплантационных и экологических технологий часто используются устройства на основе электростатических ускорителей ионов тяжелого водорода. Недостатком этих устройств

¹E-mail: isaev@lenta.ru

являются ограничения на ток и плотность тока ускоренных ионов, связанные с влиянием пространственного заряда, низкий коэффициент полезного действия при ускорении ионов и наличие сопутствующего рентгеновского излучения, возбуждаемого электронами ионно-электронной, автоэлектронной или взрывной эмиссии. Эти недостатки в значительной мере устраняются при реализации эффективного ускорения квазинейтральной плазмы.

В работе [1] была рассмотрена схема ускорения лазерной плазмы в быстронарастающем магнитном поле, формируемом при разряде накопительной емкости C , заряженной до напряжения U , на контур в виде проводящего кольца радиусом ρ . Схема такого ускорения плазмы для последующей генерации нейтронов представлена на рис. 1. Плазма образуется в момент t , отсчитываемый от начала разряда накопительной емкости, в результате фокусировки излучения импульсного лазера на мишень из диэлектрического дейтерированного материала. Из-за нарастания магнитного поля в плазме возбуждается вихревой электрический ток. При взаимодействии этого тока с магнитным полем возникает продольная пондеромоторная сила, ускоряющая плазменный сгусток.

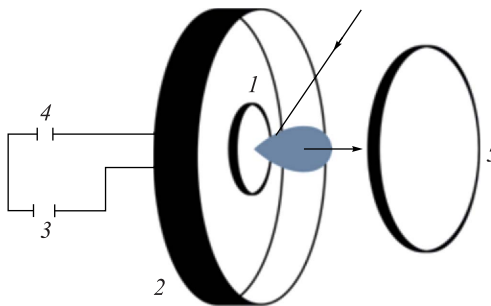


Рис. 1. Схема ускорения сгустка лазерной плазмы в момент его образования: 1 — плазмообразующая мишень; 2 — кольцевой контур с током; 3 — емкостный накопитель энергии; 4 — разрядник; 5 — нейтронообразующая мишень

В данной работе приводятся результаты расчета ускорения сгустка лазерной плазмы в момент его образования. Расчеты проводились для тороидального сгустка плазмы, образуемого под действием лазерного импульса, сфокусированного в тонкое кольцо радиусом r и шириной a на поверхность твердой мишени, содержащей дейтерий и смешенной относительно геометрического центра кольцевого проводника на расстояние z в сторону лазера (см. рис. 1). Такая фокусировка может осуществляться с помощью оптических конусов (аксиконов) или специальных голограмических линз. Модель носит достаточно общий характер, так как любое азимутально-симметричное плазменное образование может быть представлено в виде совокупности подобных тороидальных укрупненных плазменных частиц.

В основу используемой модели легли следующие физические представления. После разряда накопительной емкости на кольцевой проводник (суммарная индуктивность разрядной цепи L) создается нарастающее во времени магнитное поле. Его значение в области образования плазменного сгустка определяется вектором индукции $B(r, z, t) = \{B_r(r, z, t), B_z(r, z, t)\}$, который может быть с достаточной степенью точности описан следующими выражениями [2]:

$$B_{r,z}(r, z, t) = B_{0r,z}(r, z) \exp \left[-\left(\frac{R}{2L} \right) t \right] \sin \left[(LC)^{-1/2} t \right], \quad (1)$$

$$B_{0r,z}(r,z) = \left[\frac{\mu_0 U \left(\frac{C}{L} \right)^{1/2}}{2\pi} \right] \left(\frac{\rho}{r} \right)^{1/2} \frac{\partial}{\partial z} \left[\frac{2E(k)}{k} - \left(\frac{2}{k} - k \right) K(k) \right],$$

$$B_{0z}(r,z) = \left[\frac{\mu_0 U \left(\frac{C}{L} \right)^{1/2}}{2\pi} \right] r^{-1} \frac{\partial}{\partial r} \left\{ (r\rho)^{1/2} \left[\left(\frac{2}{k} - k \right) K(k) - \frac{2E(k)}{k} \right] \right\},$$

где μ_0 — магнитная проницаемость вакуума; R — активное сопротивление разрядного контура; $K(k)$ и $E(k)$ — полные эллиптические интегралы 1-го и 2-го рода соответственно,

$$k = \frac{2(r\rho)^{1/2}}{[(\rho+r)^2 + z^2]^{1/2}}.$$

В результате изменения во времени магнитного поля возникает азимутальное вихревое электрическое поле, которое в соответствии с законом Ленца определяется следующим приближенным выражением:

$$E_\varphi(r,z,t) \approx - \left(\frac{r}{2} \right) \frac{d}{dt} [B_z(r,z,t)]. \quad (2)$$

В области кольцевого плазменного образования возникают также знакопеременные азимутальные электрические поля, связанные с пересечением движущейся плазмой силовых линий магнитного поля и пропорциональные компонентам вектора скорости. Однако эти поля могут отвечать только за перераспределение запасенной на начальной стадии образования плазмы кинетической энергии поперечного движения в кинетическую энергию продольного движения. Значит, в этом случае речь может идти только об увеличении или уменьшении энергии продольного движения отдельных фрагментов лазерной плазмы не более чем в два раза на протяжении всего процесса разлета, что не представляет интереса для поставленных выше задач. Таким образом, в дальнейшем рассмотрении указанным эффектом можно пренебречь.

Лазерная плазма обладает конечной проводимостью σ , которая на начальной стадии разлета с достаточной точностью определяется формулой Спитцера [3] с поправкой на параметр замагниченности Холла — $\Omega = \omega_\text{Л}/\nu$ [4]:

$$\sigma \approx \frac{2 \cdot 10^4 \theta^{3/2}}{\{\Lambda[1 + \Omega^2]\}} [\text{Ом} \cdot \text{м}], \quad (3)$$

где

$$\omega_\text{Л} = \frac{eB_z(r,z,t)}{m} \quad (4)$$

— круговая частота Лармора; e , m — заряд и масса электрона соответственно;

$$\nu \approx 2 \cdot 10^{-12} n \Lambda \theta^{-3/2} \quad (5)$$

— частота электрон-ионных столкновений [3];

$$\Lambda \approx \ln (7,5 \cdot 10^{-6} \theta^{3/2} n^{-1/2}) \quad (6)$$

— кулоновский логарифм [3]; θ и n — соответственно начальная температура, выраженная в эВ, и электронная плотность лазерной плазмы, усредненные по объему плазменного сгустка.

Начальное значение электронной плотности плазмы можно оценить, используя опубликованное в работе [6] выражение, связывающее массовую плотность лазерной плазмы g с помощью лазерного излучения:

$$g = B(S, A, Z)W^{1/3}, \quad (7)$$

где $B(S, A, Z)$ — некая функция от плотности S пятна фокусировки излучения на плазмообразующую мишень, средней атомной массы A вещества мишени, порядкового номера Z элемента, составляющего вещество мишени. Переходя в этом выражении от мощности лазерного излучения к плотности мощности, а от массовой плотности к электронной, можно получить для случая дейтерированного полиэтилена $(CD_2)_n$ (наиболее оптимальный материал плазмообразующей мишени) следующее выражение для начальной электронной плотности:

$$n \approx 2 \cdot 10^{19} q^{1/3} (ra)^{-1/6} \text{ м}^{-3}. \quad (8)$$

Это выражение устанавливает зависимость электронной плотности от плотности мощности лазерного излучения и геометрических размеров плазменного сгустка для длины волны лазерного излучения ~ 1 мкм.

Среднюю начальную температуру плазмы θ , используя данные, опубликованные в работе [5], можно выразить через плотность мощности лазерного излучения q на поверхности плазмообразующей мишени. В рассматриваемом случае эта связь будет определяться следующим приближенным выражением:

$$\theta \approx 10^{-6} (q)^{4/9} \text{ эВ}. \quad (9)$$

Согласно закону Ома в плазме возбуждается азимутальный ток плотностью $j = \sigma E_\varphi(r, z)$. При этом на любой элемент единичного объема плазменного сгустка в момент его образования будет действовать продольная пондеромоторная сила

$$F_z(r, z, t) = \sigma E_\varphi(r, z, t) B_r(r, z, t). \quad (10)$$

Эффект начального ускорения более наглядно можно описать в терминах поля ускорений:

$$f(r, z) = \frac{[\sigma E_\varphi(r, z, t) B_r(r, z, t)]}{Mn}, \quad (11)$$

где M — масса дейtronса.

На основании формул (1)–(11) был разработан алгоритм расчета начального поля ускорений и составлена соответствующая программа для персонального компьютера. С использованием этой программы был проведен численный эксперимент с целью выяснения оптимальных временных режимов ускорения дейtronов, а также значений геометрических параметров r и z , необходимых для постановки реального физического эксперимента на вакуумной установке, моделирующей рассматриваемый процесс ускорения.

В численном эксперименте значения плотности потока лазерного излучения рассматривались в диапазоне $q = 10^{13} - 10^{15}$ Вт/м², а параметры разрядного контура варьировались в следующих пределах: $C = 10^{-7} - 10^{-6}$ Ф, $L = 10^{-8} - 5 \cdot 10^{-7}$ Гн, $U = 10 - 50$ кВ, $R = 10^{-2} - 1$ Ом. Указанные диапазоны представляются вполне реальными для создания действующего малогабаритного ускорителя плазмы. Предварительные аналитические расчеты показывают, что им соответствует диапазон изменения начальной скорости на расстояния магнитного поля $10^6 - 10^8$ Тл/с с его максимальной амплитудой несколько тесла.

На рис. 2 в качестве примера представлены характерные зависимости начального поля ускорений от параметров r и z , рассчитанные для следующих значений: $C = 10^{-6}$ Ф, $L = 10^{-7}$ Гн, $R = 0,1$ Ом, $U = 20$ кВ, $\rho = 0,005$ м, $a = 5 \cdot 10^{-4}$, $q = 10^{13}$ Вт/м², при оптимальном времени задержки t_0 .

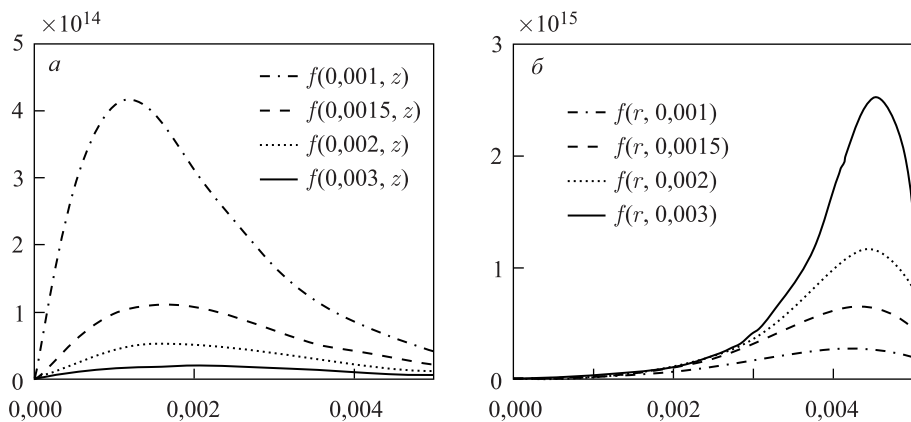


Рис. 2. Характерные зависимости начального поля ускорений от параметров r и z . а) Семейство зависимостей поля ускорений $f(r, z)$, z — текущая координата (ось абсцисс), r — параметр. б) Семейство зависимостей поля ускорений $f(r, z)$, r — текущая координата (ось абсцисс), z — параметр

Анализ результатов численного эксперимента позволяет сделать следующие выводы.

1. Оптимальное время задержки между началами электрического и лазерного импульсов составляет

$$t_0 \approx \frac{(LC)^{1/2}}{2} \operatorname{tg}^{-1} \left[\frac{2}{R} \left(\frac{L}{C} \right)^{1/2} \right].$$

2. Оптимальный режим ускорения достигается при фокусировке лазерного излучения на мишень, расположенную на расстоянии $z \approx 0,15\rho$ от центра контура с током в направлении разлета плазмы.

3. Ускорение фрагментов лазерной плазмы растет монотонно с ростом радиуса кольца фокусировки, достигая максимума при $r \approx 0,9\rho$.

4. Началу процесса ускорения соответствует рост продольной скорости движения ионов плазмы за 1 нс более чем в 2 раза.

5. Ускорение монотонно растет с увеличением параметра $U^2 C^{1/2} / L^{3/2}$. При этом характер роста ускорения близок к линейному.

6. На плазменный сгусток действует также поле пондеромоторных сил, направленных к оси симметрии ускоряющей системы. Поэтому радиус плазменного сгустка уменьшается. В процессе его уменьшения за характерные времена 10–100 нс (в зависимости от параметров магнитной системы) резко (практически до нуля) спадает продольная ускоряющая сила в результате спада радиальной составляющей магнитного поля.

На основании трех последних выводов можно сделать прогноз о возможности генерации нейтронов с использованием лазерной плазмы, ускоренной в нестационарном магнитном поле. При этом время эффективного ускорения будет составлять 10–100 нс. За это время продольная скорость фронта плазменного образования может увеличиться с учетом спада радиальной составляющей магнитного поля и электронной плотности плазмы в результате ее расширения и протекания рекомбинационных процессов в несколько десятков раз. Таким образом, если принять для указанных выше параметров ускоряющей системы в соответствии с данными работы [8] значение начальной скорости раздела лазерной плазмы $\sim 10^5$ м/с, то можно утверждать, что в процессе ускорения плазмы будут получены дейтроны с энергией в несколько десятков килоэлектронвольт. Такие значения энергии дейtronов вполне приемлемы для генерации нейтронов на твердой мишени, содержащей тритий.

СПИСОК ЛИТЕРАТУРЫ

1. Цыбин А. С., Козловский К. И., Кузнецов А. Ю., Шиканов А. Е. Ускоритель лазерной плазмы для радиационно-физических исследований // Тр. 12-й Междунар. конф. по радиационной физике и химии неорганических материалов, Томск, Россия, 2003. С. 511–514.
2. Ландау Л. Д., Лифшиц Е. М. Электродинамика сплошных сред. М.: Наука, 1982. С. 164.
3. Хора Х. Физика лазерной плазмы. М.: Энергоатомиздат, 1986. С. 37–38.
4. Чен Ф. Введение в физику плазмы. М.: Мир, 1987. С. 167.
5. Бойко В. А., Крохин О. Н., Склизков Г. В. Исследование параметров и динамики лазерной плазмы при острой фокусировке излучения на твердую мишень // Тр. ФИАН СССР. 1974. Т. 76. С. 186–228.
6. Krokhin O. N. High Temperature and Plasma Phenomena by Laser Radiation // Proc. of Intern. School Phys., N. Y., 1971. P. 278–305.
7. Вергун И. И., Козловский К. И., Козырев Ю. П., Цыбин А. С., Шиканов А. Е. Исследование интенсивного лазерного источника дейtronов // ЖТФ. 1979. Т. 49, № 9. С. 2003–2006.